

# 14 eksamenssett med løsninger i TTK4105 Reguleringsteknikk:

16/5-01

29/7-02

15/5-03

15/8-03

24/5-05

9/8-05

8/6-06

4/6-07

25/5-09

19/5-12

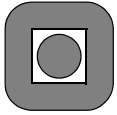
30/5-13

22/5-14

30/5-15

23/5-16

(Formelsamlinga i hvert oppgavesett er nesten lik for alle sett og er bare tatt med for settene 2013, -15, -16. Formelsamling til eksamen v-18 blir nærmest identisk med den siste fra 23/5-16, og ligger helt bakerst her. Merk ellers at Rouths kriterium – brukt i noen tidligere eksamener – ikke lenger er pensum, mens Skogestads SIMC-metode er kommet inn.)



Norges teknisk-naturvitenskapelige universitet (NTNU)

Faglig kontakt under eksamen: Trond Andresen, tlf. **7359 4358**, mobil **9189 7045**  
T.A. går to veiledningsrunder, ca. kl. 1015 - 1045, og ca. kl. 1315 - 1345

## Eksamen i fagene SIE3005 og 43021 reguleringsteknikk

onsdag 16. mai 2001  
Tid: 0900 - 1500

**Sensur** vil foreligge seinst torsdag 7. juni

**Hjelpemiddelkombinasjon B1:** Kalkulator med tomt minne tillatt. Ingen trykte eller håndskrevne hjelpemidler tillatt. Studenthjerne med fullt minne tillatt.

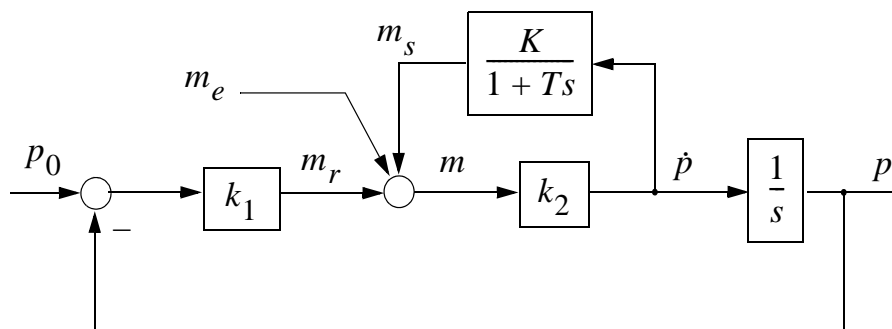
**Prosenttallene** angir den relative vekt oppgavene tillegges ved bedømmelsen.

Flere spørsmål kan besvares meget enkelt ved å bruke **formelsamlinga** bakerst i oppgavesettet. Sjekk alltid den før du gir opp! Men du må forklare hvordan du bruker noe, når du henter det fra formelsamlinga.

Noen spørsmål skal besvares ved å **måle ut verdier på figurer i oppgavesettet** – i slike tilfeller godtas en viss "måleunøyaktighet"! Der hvor rubrikk for studentnr. etc. er angitt på sider i oppgavesettet, **kan man tegne i figurer og levere det påtegnede arket som en del av besvarelsen**.

STUDENTS MAY ANSWER THIS EXAM IN ENGLISH IF THAT IS PREFERRED.

**Oppgave 1 (36 %)** (NB: Du trenger ikke kunne noe økonomi for å løse denne oppgaven)



figur 1.1

Figur 1.1 viser en modell for den kortsiktige dynamikk (timer, dager) i et idealisert aksjemarked. De som handler aksjer oppviser to typer oppførsel: “Realøkonomisk” (dvs. de handler på grunnlag av en oppfatning av hva de tror aksjen “egentlig” er verdt, her gitt ved en konstant pris  $p_0$ ), eller “spekulativ” (dvs. de handler på grunnlag av endringshastighet  $\dot{p}$  i prisen). Overskuddsetterspørsel etter aksjer er gitt ved  $m$  [antall aksjer].  $m$  er negativ når flere aksjer tilbys enn ønskes kjøpt. Vi har

$$m = m_r + m_s + m_e, \quad (1.1)$$

hvor indeks “ $r$ ” betyr “realøkonomisk”, “ $s$ ” betyr “spekulativ”. Indeks “ $e$ ” for “ekstern” indikerer en ekstra etterspørsel som påvirker systemet. Det henvises til figur 1.1.

Parametre i modellen er koeffisientene  $k_1, k_2 > 0$ , forsterkning  $K$  og tidskonstant  $T$ .

Sett inntil videre  $p_0 = 0$ , da vi først bare skal studere virkninga av den eksterne etterspørsel  $m_e$ .

a) (7 %) Systemet kan uttrykkes som en tilstandsrommodell,  $\dot{x} = Ax + bu$ ,  $y = c^T x$ .

$$\text{Velg } x = \begin{bmatrix} p \\ m_s \end{bmatrix}. \text{ Vis at da er } A = \begin{bmatrix} -k_1 k_2 & k_2 \\ -\frac{K k_1 k_2}{T} & -\frac{1}{T}(1 - K k_2) \end{bmatrix} \quad (1.2)$$

Velg  $u = m_e$  og  $y = p$ . Finn  $b$  og  $c^T$ .

b) (7 %) Finn transferfunksjonen  $h(s) = \frac{y}{u}(s) = \frac{p}{m_e}(s)$  ved hjelp av tilstandsrommodellen.

c) (6 %) Finn den samme transferfunksjonen ved å redusere blokkdiagrammet.

d) (6 %) Vis at  $h(s)$  har udempet resonansfrekvens

$$\omega_0 = \sqrt{\frac{k_1 k_2}{T}}, \text{ og relativ dempningsfaktor } \zeta = \frac{1 + k_1 k_2 T - k_2 K}{2\sqrt{k_1 k_2 T}} \quad (1.3)$$

Kommentér ut fra  $\zeta$  virkninga av økt  $K$  på systemet – er den rimelig ut fra de to typer oppførsel som modellen bygger på?

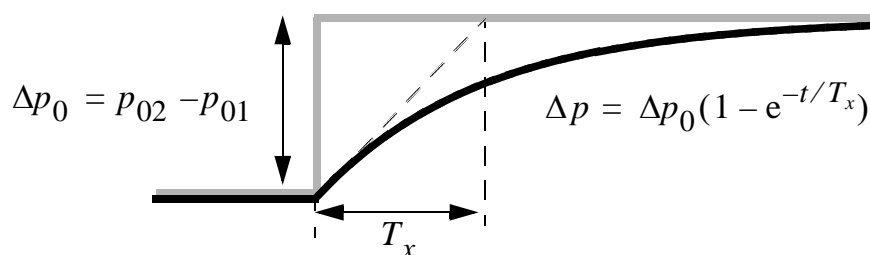
e) (5 %) For et visst variasjonsområde  $K_1 < K < K_2$  er polene kompleks konjugerte og systemet stabilt. Finn  $K_1$  og  $K_2$ . Skissér polenes forflytning (dvs. *rotkurven*) når  $K$  varierer i dette området. (Tips: Kurven blir veeeldig ;- ) enkel.)

f) (5 %) Sett nå  $m_e = 0$ . Figur 1.2 viser et prisforløp når aksjens “realøkonomiske verdi”  $p_0$  endrer seg som et sprang fra  $p_{01}$  til  $p_{02}$  (det kan f.eks. tenkes at det kunngjøres at bedriften har utviklet et nytt attraktivt produkt).

I dette underpunktet er forsterkninga  $K$  gitt en verdi som man fort kan bestemme ved betraktning av sprangresponsen i figur 1.2 og modellen i figur 1.1:

Hva er  $K$  – hva med omfanget av spekulativ oppførsel?

Finn også den  $T_x$  som er angitt i figur 1.2 !



figur 1.2

**Oppgave 2 (31 %)**

En modell av kurs-dynamikken til en supertanker er

$$\begin{aligned} \dot{x}_1 &= x_2 \\ \dot{x}_2 &= \frac{1}{J}(\beta x_2 - \gamma x_2^3 + Ku) \end{aligned} \quad (2.1)$$

Her er

$x_1, x_2$  = henholdsvis kursvinkel [rad], og kursvinkelhastighet (dreiehastighet) [rad/s]

$J$  = supertankerens treghetsmoment m.h.p. vertikal-aksen. [kg m<sup>2</sup>]

$u, K$  = henholdsvis rorvinkel [rad], og *rorkonstant* [Nm / rad]

Koeffisientene  $\beta$  og  $\gamma$  er begge  $> 0$ .

a) (6 %) Finn en linearisert modell  $\Delta \dot{\underline{x}} = A \Delta \underline{x} + \underline{b} \Delta u$  rundt et arbeidspunkt  $\underline{x}^p, u^p$ .

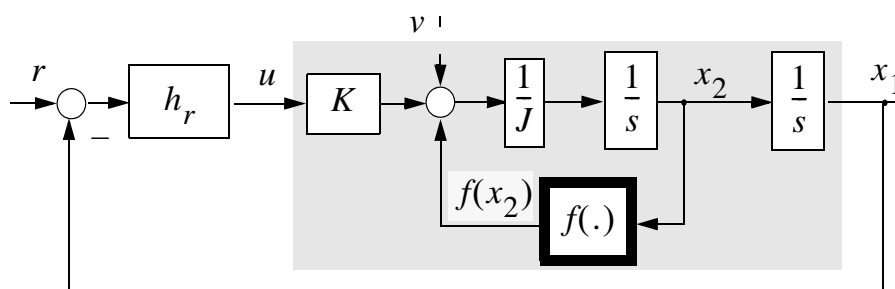
b) (6 %) Finn egenverdiene til den lineariserte modell. Kommentér stabiliteten for lave dreiehastigheter. Hvordan er stabiliteten ved *store* dreiehastigheter?

Et blokkdiagram for

modellen (2.1)

(skravert felt), nå med regulering, er vist i figur 2.1:

figur 2.1 Skip med regulering



Her er  $f(x_2) = \beta x_2 - \gamma x_2^3$ . Vi betrakter små avvik fra en kursvinkel-referanse  $r = 0$ , og forutsetter lav dreiehastighet,  $x_2 \approx 0$ . Sløyfetransferfunksjonen  $h_0$  for den lineariserte skipsmodell blir

$$h_0(s) = h_r(s)h_u(s) = h_r(s) \cdot \frac{K}{\beta} \frac{1}{s(-1 + Ts)} \quad , \text{ der } T = \frac{J}{\beta} \quad (2.2)$$

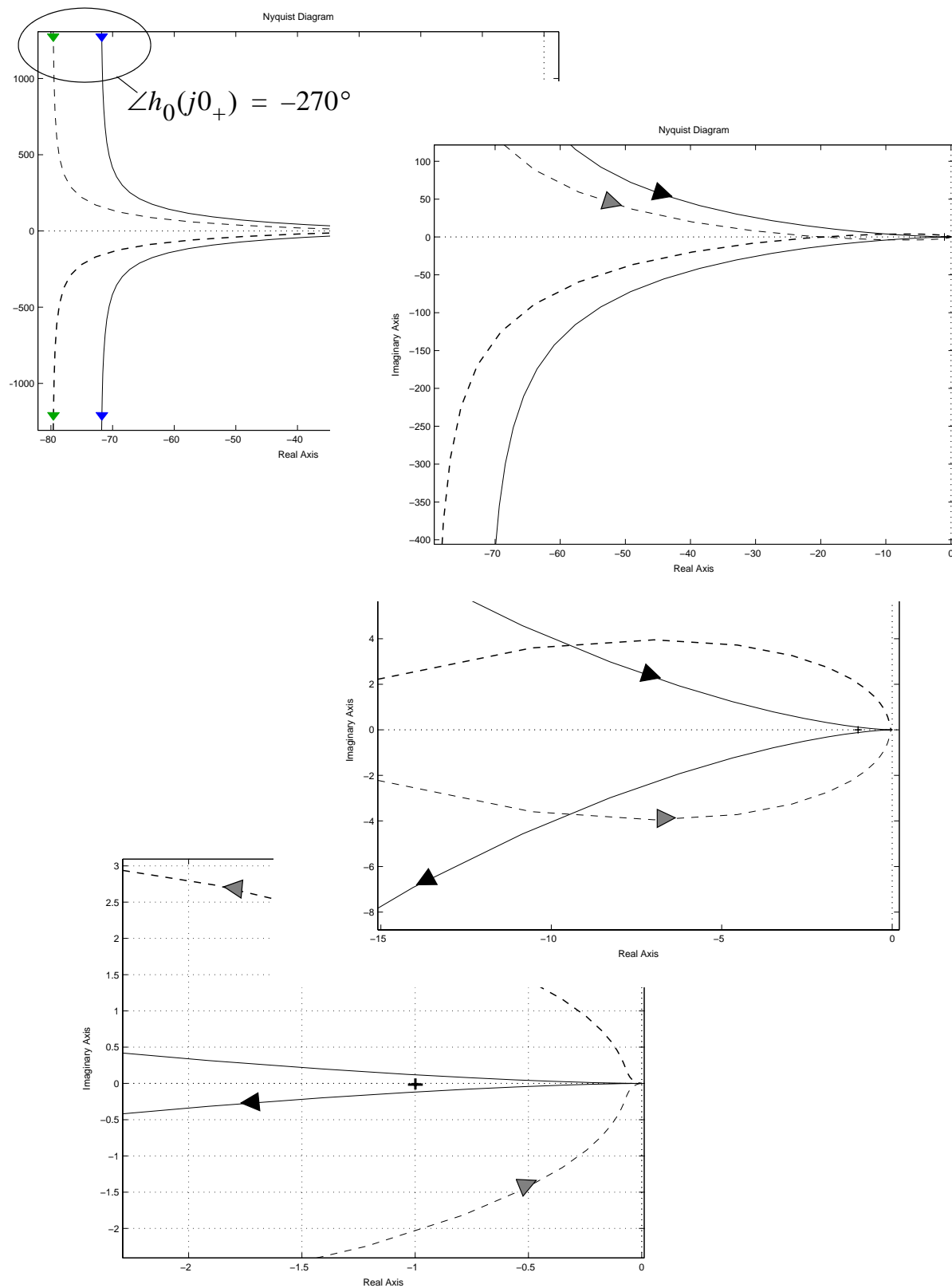
c) (5 %) Nyquist(polar-)diagrammet for  $h_0$  for et gitt sett med systemparametre er vist i figur 2.2 på neste side, i fire forskjellige skalaer: Heltrukken linje er  $h_0$  med P-regulator. Hva kan du si om systemets stabilitet med P-regulator? Begrunn svaret ut fra diagrammet!

d) (7 %) Det stipla Nyquist-diagrammet er  $h_0$  med en annen regulator. Er systemet stabilt med denne regulatoren? Begrunn svaret! Er denne regulatoren en PI- eller en begrenset PD-regulator? Begrunnet svar! (Tips: Se formelsamling med regulatorer. Du kan så se av Nyquist-diagrammet hvilken det må være.)

(Tips til punktene c) og d): Den uendelig store halvsirkelen som utgjør en del av begge de to Nyquistkurvene går for dette systemet inn i *venstre* halvplan, ikke høyre).

e) (7 %) Det kommer nå inn en forstyrrelse  $v$  som vist med stipla linje i figur 2.1.  $v$  er et enhetssprang. Finn det stasjonære avvik med regulatoren du valgte i d), ved hjelp av sluttverдитеoremet!

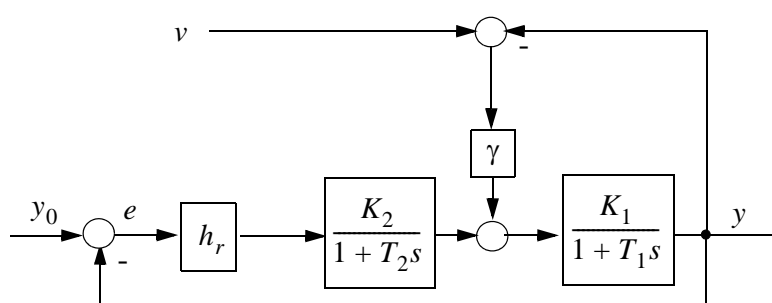
(NB: Om du valgte feil i d), vil du likevel få kreditert rett svar på dette spørsmålet.)



figur 2.2 Polardiagram for  $h_0$  med to forskjellige regulatorer, i fire forskjellige skalaer

**Oppgave 3 (9 %)**

Strukturen i figur 3.1 er et reguleringsystem for oppvarming i en bygning.



figur 3.1

Fag nr.: SIE3005 og 43021

Dato: 16. mai 2001

Student nr.:

Sidenr.:

Bygningens dynamikk har tidskonstant  $T_1$ , mens ovnene har tidskonstant  $T_2$ . Innnetemperatur er  $y$ , utetemperatur er  $v$ , som måles og skal brukes i en foroverkopling. Varmeovergangstallet mellom bygning og omgivelser er  $\gamma$ .

- a) (5 %) Tegn inn en foroverkopling fra forstyrrelsen i blokkdiagrammet. Du kan tegne på dette arket og levere det, hvis du foretrekker det.  
Finn den ideelle foroverkopling  $h_{fi}(s)$ .
- b) (4 %) Finn med utgangspunkt i  $h_{fi}(s)$  den statiske foroverkopling  $K_f$ . Hva oppnår du med den?

**Oppgave 4 (24 %)**

Gitt en prosess med PI-regulator, slik at

$$h_0 = h_r h_u = K_p \frac{1 + T_i s}{T_i s} \cdot K \frac{1 - T_2 s}{(1 + T_1 s)(1 + T_3 s)}, \text{ der } K = 2, T_1 = 5, T_2 = 1, T_3 = 0.1 \quad (4.1)$$

Vi velger  $T_i = 10$  og tegner Bode-diagram med  $K_p = 1$ . Se figur 4.1.

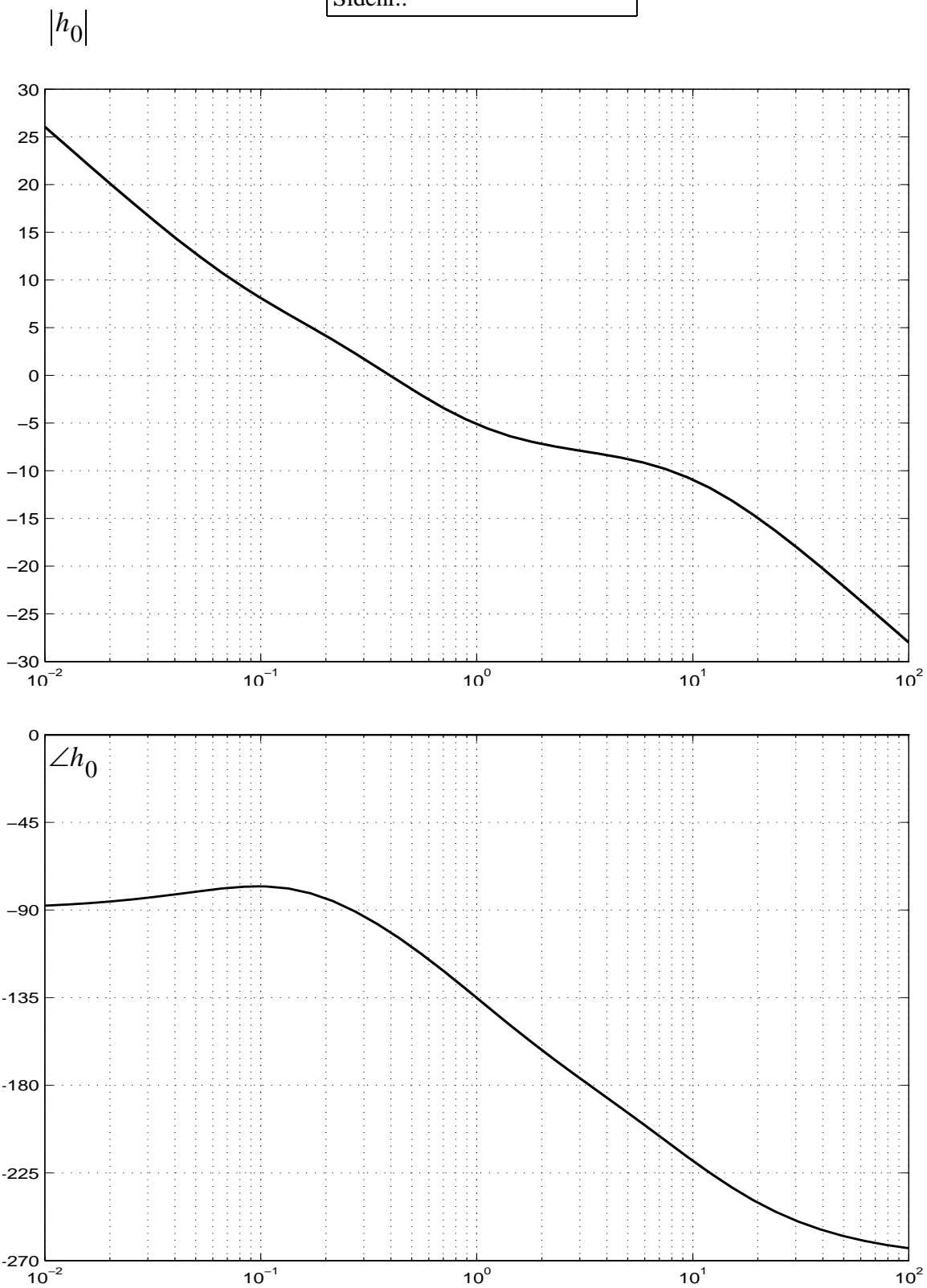
- a) (9 %) Tegn asymptotene for  $|h_0|$  og  $\angle h_0$  i figur 4.1, og lever den påtegnede figur som en del av besvarelsen. Det skal framgå hvordan du finner asymptotene, det er ikke nok å "tilpasse dem" til de gitte kurver. Spesielt må du angi hvordan du fastla 0-dB-linja.
- b) (6 %) Finn fasemargin  $\psi$  og forsterkningsmargin  $\Delta K$  for de valgte verdier av  $T_i$  og  $K_p$ . Ut fra resultatet: Er  $K_p$  passe stor? Og hva med valget som ble gjort av  $T_i$ : Bør  $T_i$  justeres?
- c) (4 %) Tegn inn asymptoter for  $|N(j\omega)|$  og  $|M(j\omega)|$  i figur 4.1. (I den grad noen linjer kommer oppå andre, bruk farger, eller stiplet linje, eller legg ny linje litt på sida av den allerede inntegnede linja.)
- d) (5 %) PI-regulatoren skal nå byttes ut med en *diskret* PI-regulator, fortsatt med de gitte verdier på  $T_i$  og  $K_p$ . Dette svarer tilnærmet til å introdusere en tidsforsinkelse i reguleringsløyfa lik  $0.5T$ , der  $T$  er tastetida. Du velger  $T = 0.1$ . Hva blir endringa i fasemarginen?

Fag nr.: SIE3005 og 43021

Dato: 16. mai 2001

Student nr.:

Sidenr.:



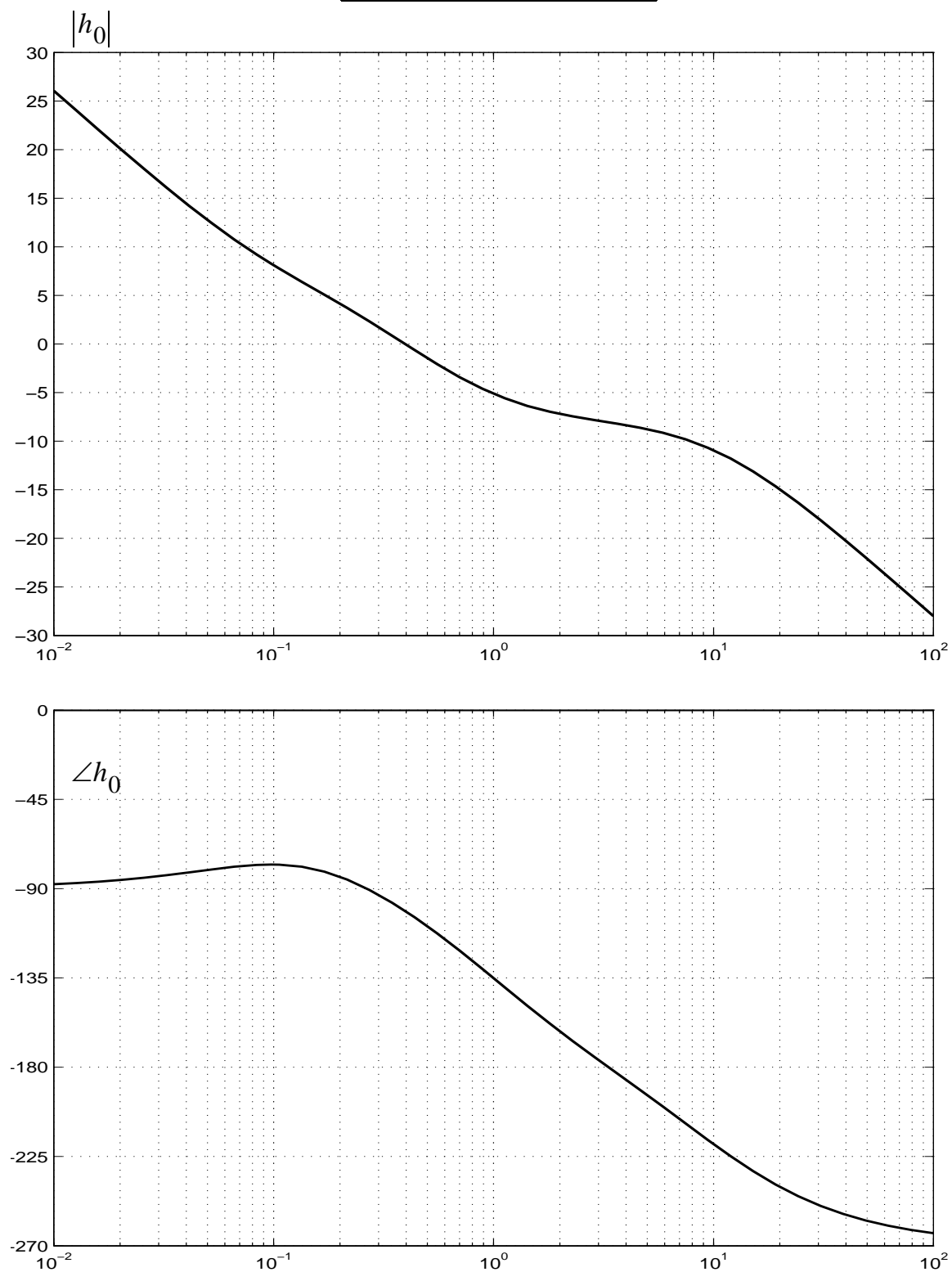
figur 4.1

Fag nr.: SIE3005 og 43021

Dato: 16. mai 2001

Student nr.:

Sidenr.:

*figur 4.2 (samme som 4.1, hvis du trenger et ekstra ark)*



# Formelsamling

(3 sider, noe av dette trenger du kanskje...)

$$\lim_{t \rightarrow \infty} f(t) = \lim_{s \rightarrow 0} sf(s) \quad (\text{V.1})$$

$$\lim_{t \rightarrow 0} f(t) = \lim_{s \rightarrow \infty} sf(s) \quad (\text{V.2})$$

$$\mathcal{L} [\dot{f}(t)] = sf(s) - f(t)|_{t=0} \quad , \quad \mathcal{L} [\ddot{f}(t)] = s^2 f(s) - sf(t)|_{t=0} - \dot{f}(t)|_{t=0} \quad (\text{V.3})$$

$$f(t) = \sum_{a_i} \frac{1}{(m-1)!} \left[ \frac{\partial^{m-1}}{\partial s^{m-1}} \{ (s - a_i)^m f(s) e^{st} \} \right] \bigg|_{s=a_i} \quad (\text{V.4})$$

$$|\lambda I - A| = 0 \quad (\text{V.5})$$

$$\text{Rettlinja bevegelse: } f = ma \quad \text{Rotasjon: } d = J\dot{\omega} \quad (\text{V.6})$$

$$\Delta \dot{x} = \left. \frac{\partial f}{\partial x} \right|_{x^p, u^p} \Delta x + \left. \frac{\partial f}{\partial u} \right|_{x^p, u^p} \Delta u \quad , \quad A = \begin{bmatrix} \frac{\partial f_1}{\partial x_1} & \frac{\partial f_1}{\partial x_2} \\ \frac{\partial f_2}{\partial x_1} & \frac{\partial f_2}{\partial x_2} \end{bmatrix} \quad (\text{V.7})$$

Gitt en åpen prosess  $h_0(s)$  med  $N_p$  poler i høyre halvplan. For at det lukkede (= tilbakekoplete) system skal bli stabilt, må vektoren  $1 + h_0(j\omega)$  få en vinkelendring lik  $2\pi N_p$  (dvs. *mot* urviseren) når  $\omega$  går fra  $-\infty$  til  $\infty$ . (V.8)

$$\text{PI-regulator: } h_r = K_p \frac{1 + T_i s}{T_i s} \quad (\text{V.9})$$

$$\text{begrenset PD-regulator: } h_r = K_p \frac{1 + T_d s}{1 + \alpha T_d s} \quad , \quad 0 < \alpha < 1 \quad (\text{V.10})$$